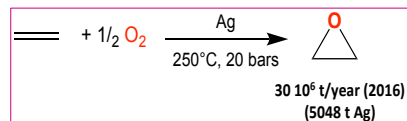
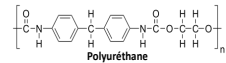
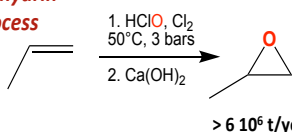


oxydations industrielles (exemples)



30 10⁶ t/year (2016)
(5048 t Ag)

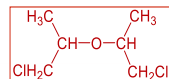
Chlorhydrin process



> 6 10⁶ t/year

Stoichiometric and harmful conditions (HClO , HCl)

 Toxic and non valuable side products



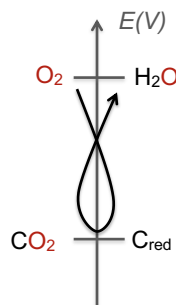
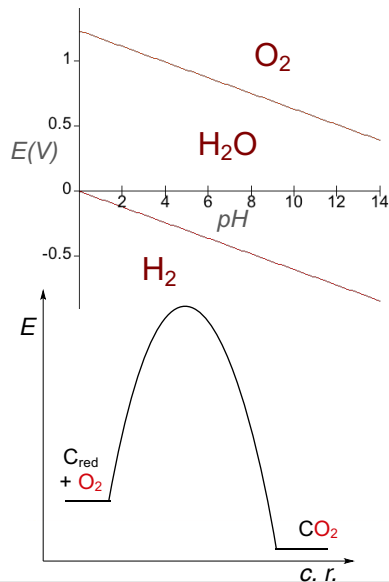
1 t propene oxide
⇒ 40 t CaCl_2 (6 %) aqueous solution

=> besoin de solutions douces, catalytiques, oxydants propres (O_2 , H_2O_2)

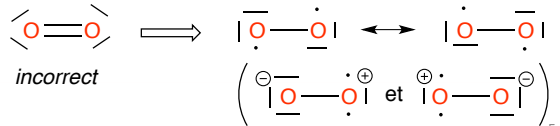
3

3

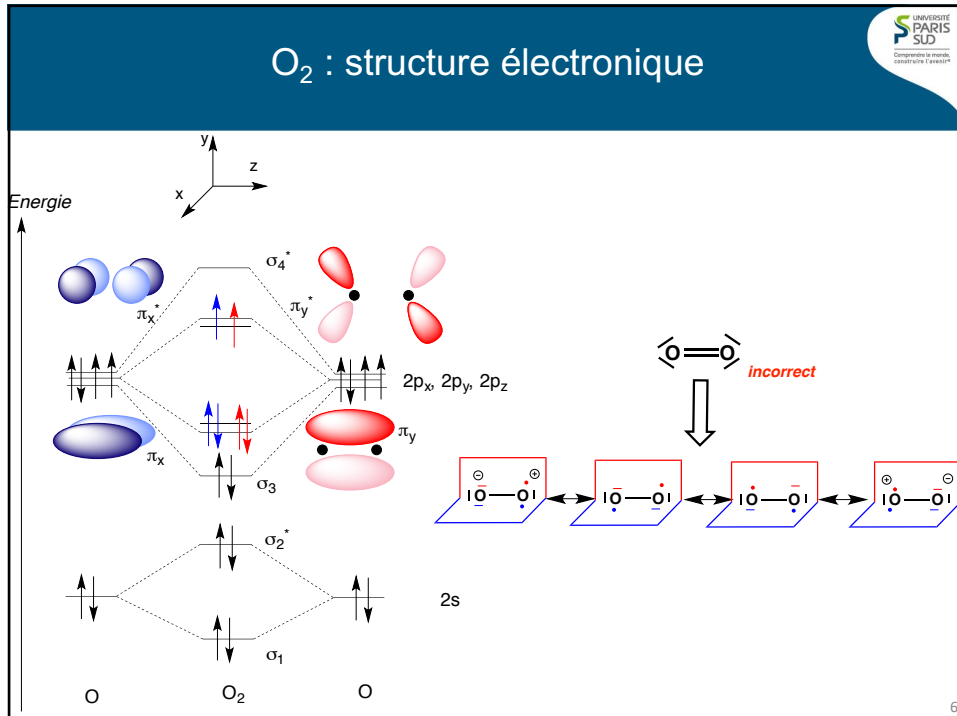
O₂ : oxydant puissant mais inerte



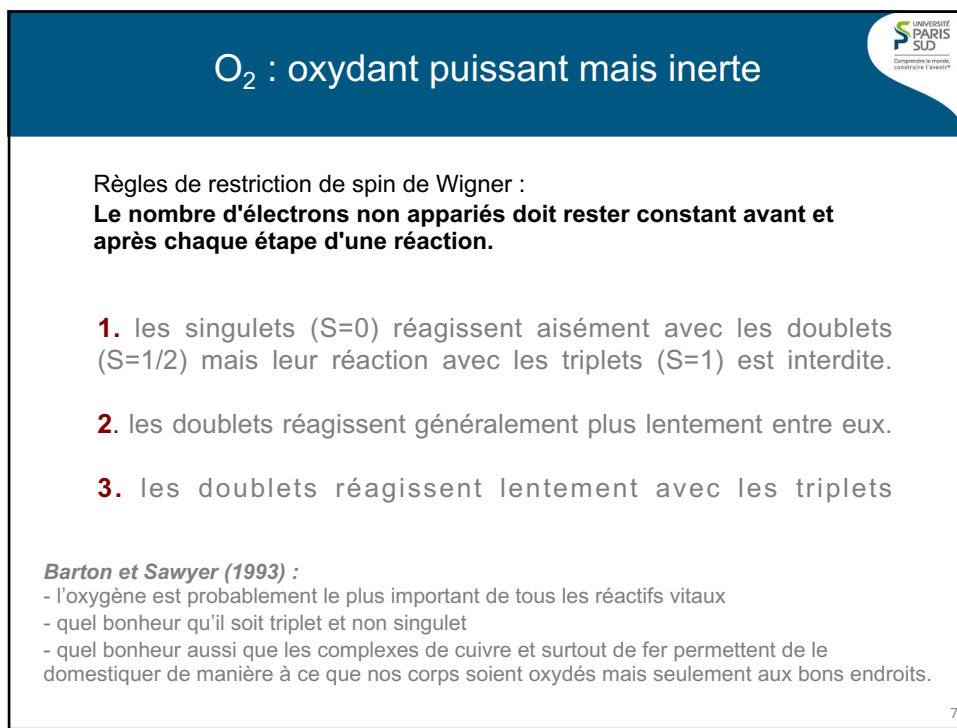
O₂ est une espèce radicalaire !!!



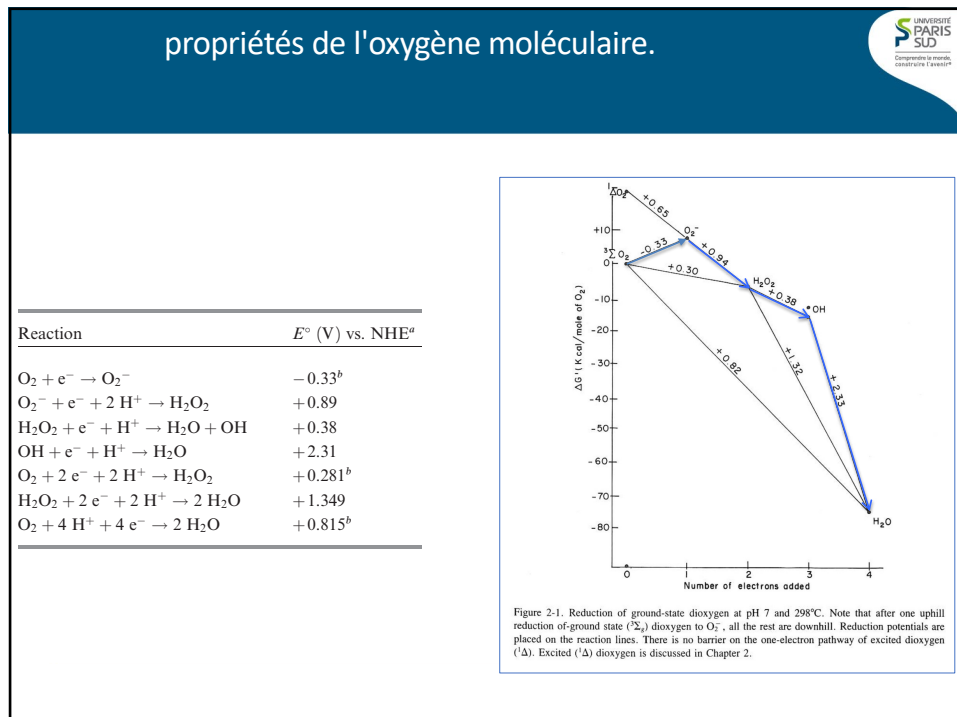
5



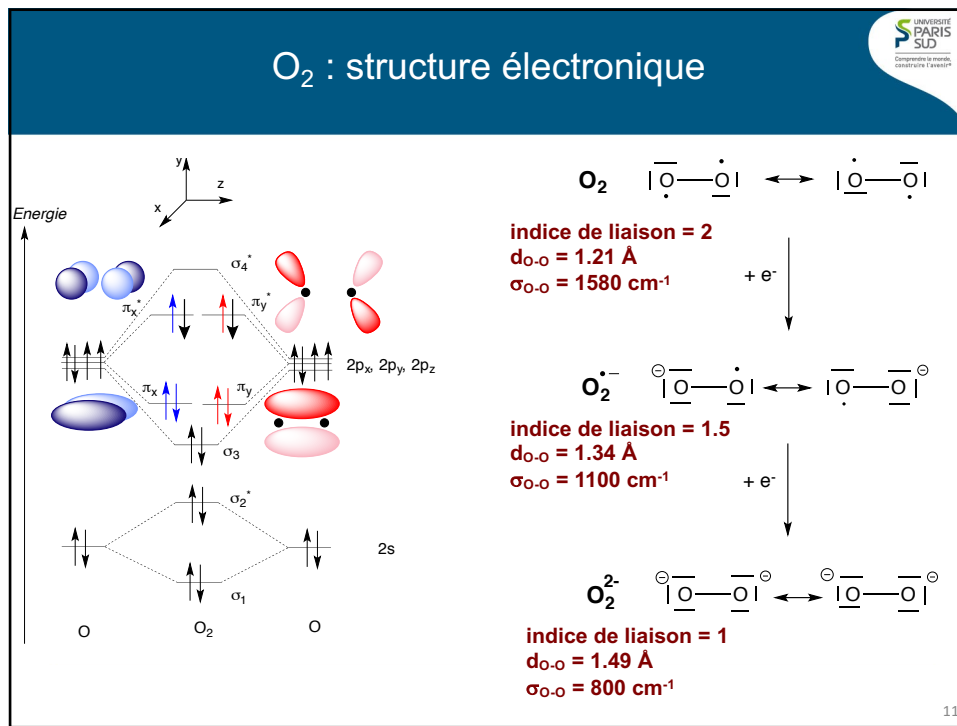
6



7



8



11

propriétés de l'oxygène moléculaire.

Sorbonne
PARIS
SUD
Comprendre le monde,
construire l'avenir*

contournement de la barrière d'activation :

formation de radicaux libres

$$\text{RH} + \text{O}_2 \longrightarrow \text{R}^\cdot + \text{HO}_2^\cdot \quad (1)$$

avec métal paramagnétique

$$\text{M}^n + \text{O}_2 \longrightarrow \text{M}^{n+1}\text{O}^\cdot \quad (2)$$

$$\text{M}^{n+1}\text{O}^\cdot \xrightarrow{\text{M}^p} \text{M}^{n+1}\text{O-M}^{n+1} \quad (3)$$

$$\text{M}^{n+1}\text{O-M}^{n+1} \xrightarrow{\mu\text{-peroxy}} 2 \text{M}^{n+2}\text{O} \quad (\text{oxo})$$

$$\text{M}^{n+1}\text{O}^\cdot \xrightarrow{\text{M}^p} \text{M}^{n+2}\text{O} \quad (\eta\text{-peroxy})$$

$$\text{M}^{n+2}\text{O} \xrightarrow{\text{M}^{n+4}} \text{O-M}^{n+4} \quad (\text{dioxo})$$

13

13

ligands
résidus des aminoacides

Sorbonne
PARIS
SUD
Comprendre le monde,
construire l'avenir*

Cys

Met

His

Asp

Glu

Tyr

Ser

Thr

Asn

Gln

NB : barrière de rotation autour de la liaison amide de 80 kJ/mol \Rightarrow doublet de N délocalisé.

(a)

(b)

(c)

(d)

(e)

(f)

(g)

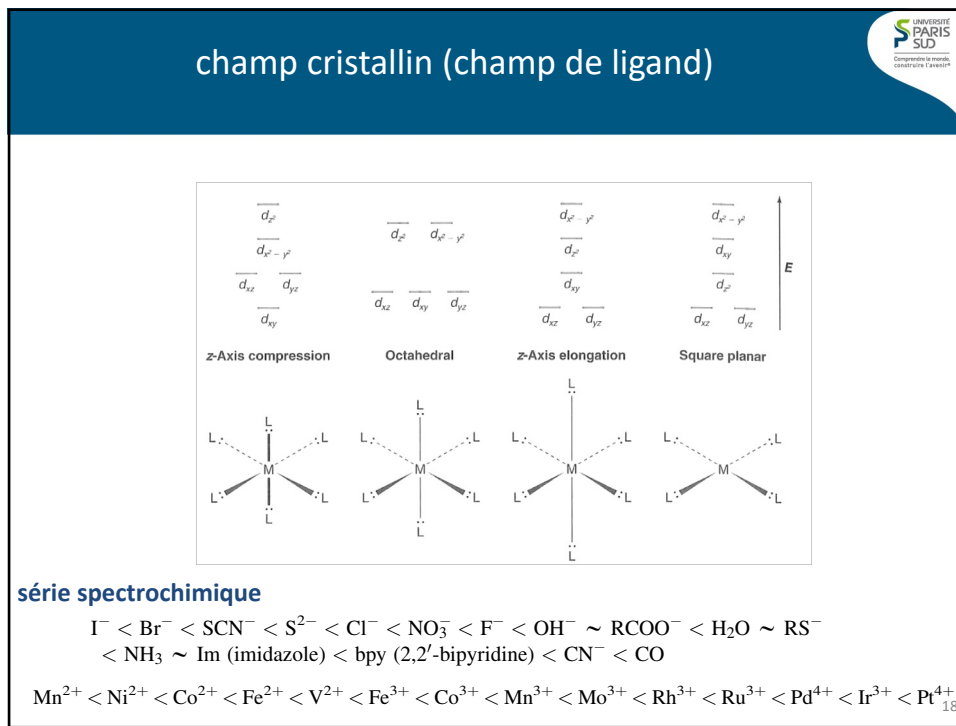
NB : d'autres types de ligands existent (groupes prosthétiques, cofacteurs...)

14

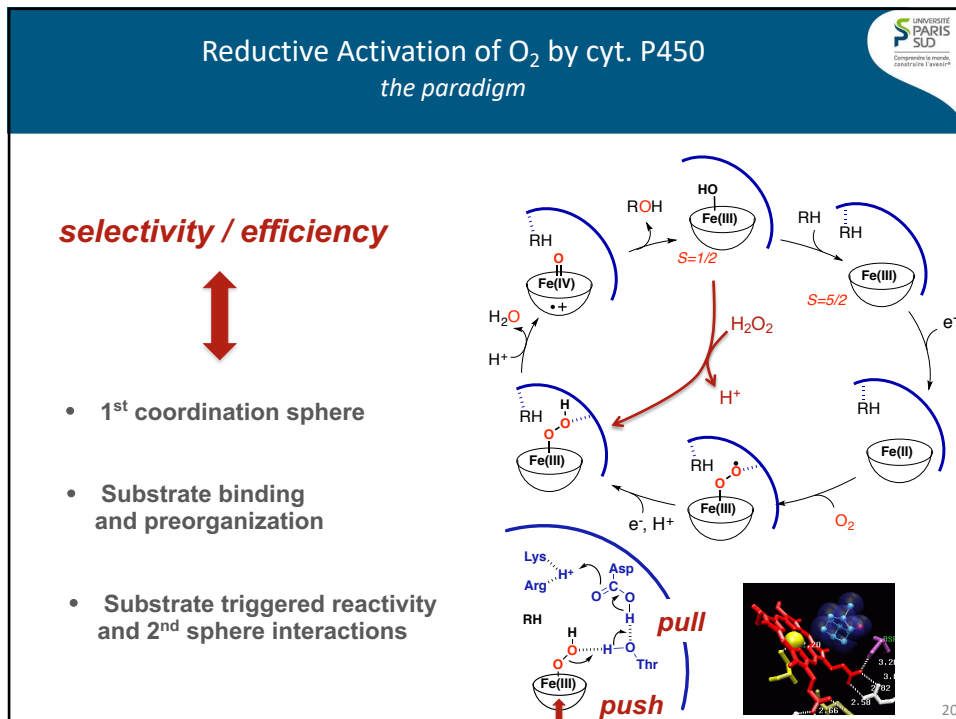
14

théorie HSAB – spécificité des ligands & ions métalliques.		
HSAB \Rightarrow liaisons <u>stables</u> = acide dur/base dure ou acide mou/base molle		
acides durs	intermédiaires	mous
petite taille charge (DO) élevée polarisabilité faible		grande taille charge (DO) faible polarisabilité élevée
Fe ³⁺ , Co ³⁺ , Cr ³⁺ , Mn ²⁺ , Ca ²⁺ , Na ⁺ , Al ³⁺ , Li ⁺ , Mg ²⁺ , H ⁺ ...	Fe ²⁺ , Co ²⁺ , Cu ²⁺ , Ni ²⁺ , Zn ²⁺ ...	Cu ⁺ , Pt ²⁺ , Ag ⁺ ...
bases dures	intermédiaires	molles
petite taille, électronégatif polarisabilité faible, difficile à oxyder		grande taille, peu électronégatif, polarisabilité grande, facile à oxyder
H ₂ O, OH ⁻ , RO ⁻ , O ₂ ⁻ , F ⁻ , Cl ⁻ , NH ₃ , RNH ₂ , RCOO ⁻ , CO ₃ ²⁻ , PO ₄ ³⁻ ...	py, N ₃ ⁻ , N ₂ , imidazole, O ₂ , Br...	I ⁻ , H ₂ S, RSH, RS ⁻ , CO, CN ⁻ , PR ₃ ...

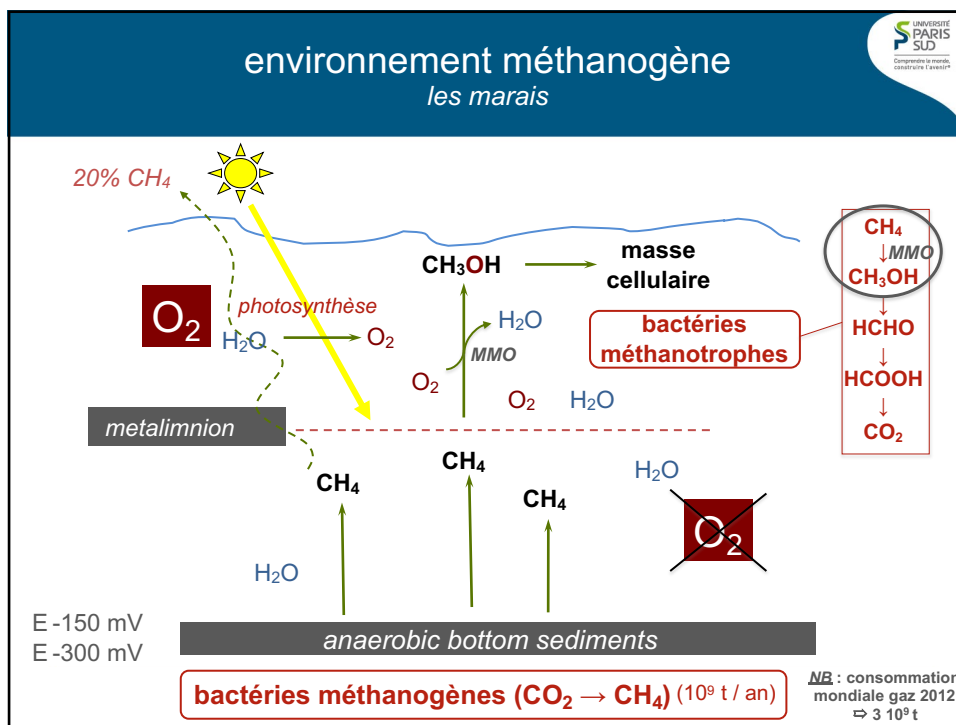
15



18



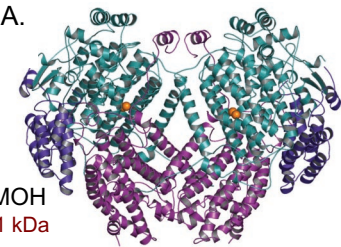
20

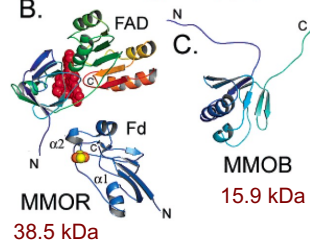


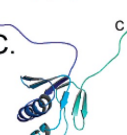
26

Activation réductrice de O_2 :
Méthane Monooxygénase

Sorbonne
PARIS
SUD
Comprendre le monde,
construire l'avenir[®]

A. 
MMOH 251 kDa

B. 
MMOR 38.5 kDa MMOB 15.9 kDa MMOD 251 kDa

C. 

$CH_4 + O_2 + NADH + H^+ \rightarrow CH_3OH + H_2O + NAD^+$
($D_{C-H} = 438.4 \text{ kJ.mol}^{-1}$; oxydation d'alcanes $\leq C_8$)

MMOH β γ

MMOB α

MMOR

$CH_3OH + H_2O$

$CH_4 + O_2$

NADH

NAD^+

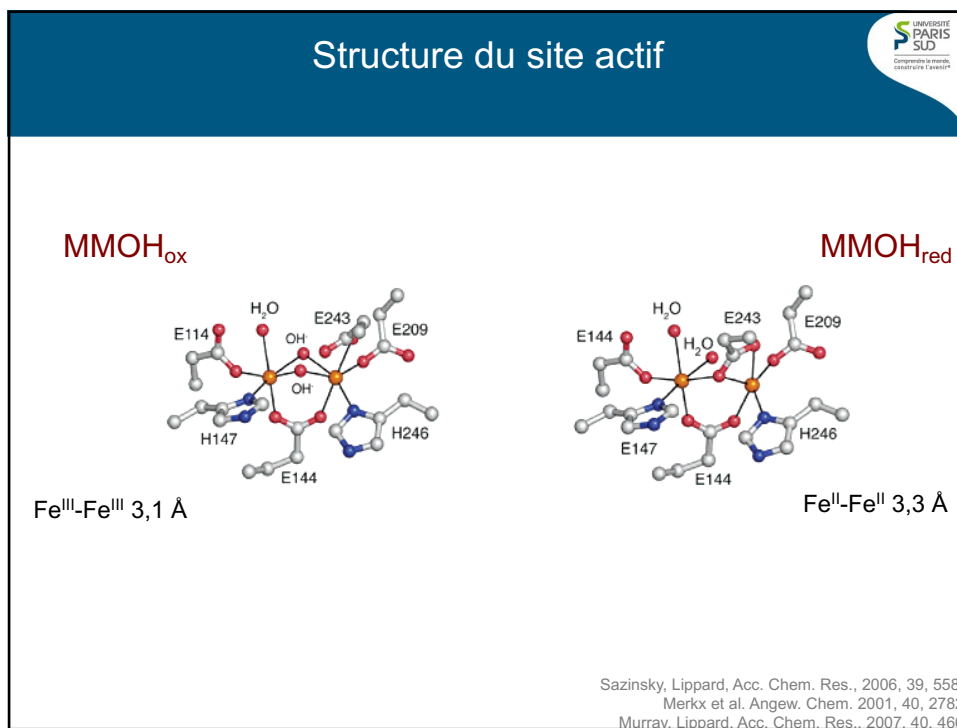
e^-

régulation

Murray, Lippard, Acc. Chem. Res., 2007, 40, 466
Sazinsky, Lippard, Acc. Chem. Res., 2006, 39, 558
Merckx et al. Angew. Chem. 2001, 40, 2782

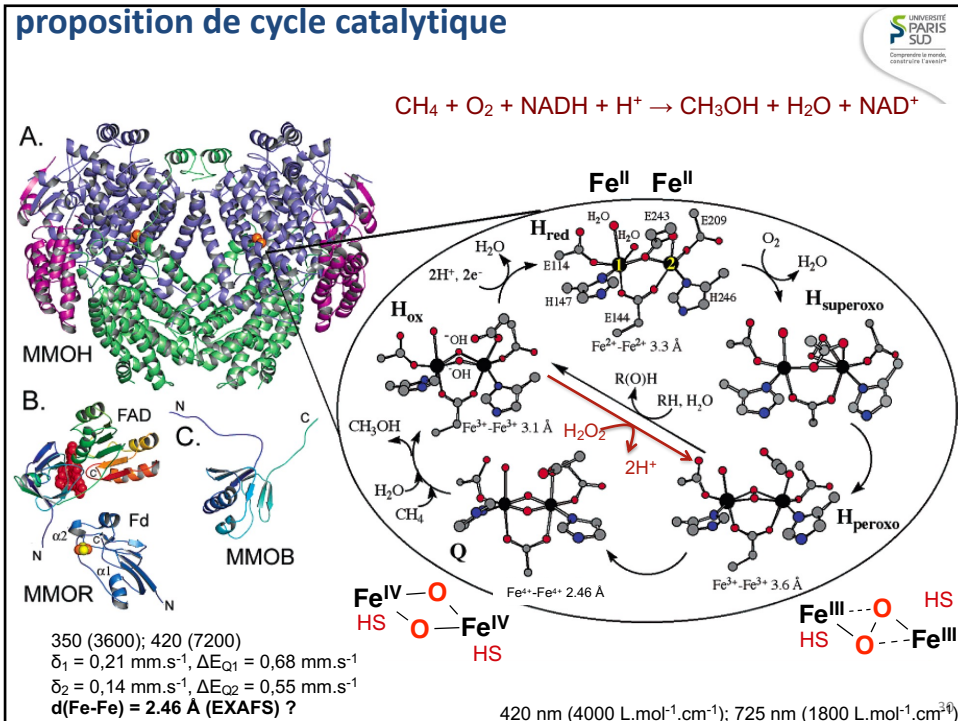
27

27



28

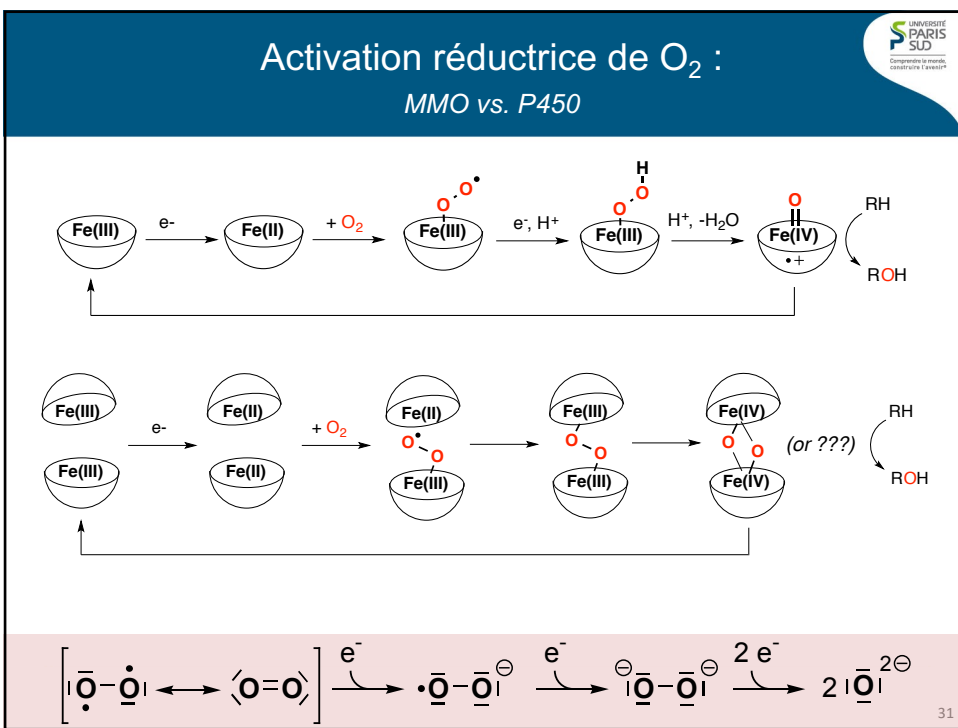
proposition de cycle catalytique



30

Activation réductrice de O_2 :

MMO vs. P450



31

**Interaction entre composants
le dilemme des oxygénases**

Sorbonne PARIS SUD
Comprendre le monde,
construire l'avenir*

reductive phase

$\text{Fe}^{\text{III}} \xrightarrow[2\text{H}^+, 2\text{e}^-]{} \text{Fe}^{\text{II}}$

$\text{O}_2 \downarrow \text{O}_2^-$

$\text{Fe}^{\text{III}} \xrightarrow{\text{H}_2\text{O}} \text{Fe}^{\text{II}}$

oxidative phase

$\text{Fe}^{\text{II}} \downarrow \text{O}_2^- \left\{ \begin{array}{c} \text{Fe}^{\text{IV}}-\text{O}-\text{Fe}^{\text{IV}} \\ \text{or} \\ \text{Fe}^{\text{IV}}-\text{O}=\text{Fe}^{\text{IV}} \end{array} \right.$

Convenient assembly of protein complexes (MMOH, MMOB, MMOR) :

- electron consumption \leftrightarrow substrate hydroxylation;
- protection of reactive oxygenated diiron intermediates (\rightsquigarrow reduction by reductase);

\Rightarrow Possible competition between MMOB and MMOR for a shared binding site on MMOH.

Murray, Lippard, Acc. Chem. Res., 2007, 40, 466

32

32

structure de l'intermédiaire Q

compared reactivity of $\text{Fe}^{\text{IV}}\text{O}$ model complexes
(O-atom transfer and C-H bond cleavage):

Tienberg et al., Acc. Chem. Res., 2011, 4, 280
Xue et al., Nat. Chem. 2010, 2, 400

L =

compared spectroscopic properties of Q and model complexes

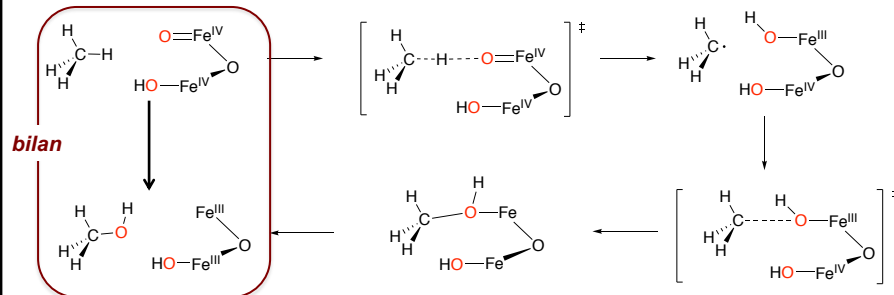
HERFD XAS

J. Am. Chem. Soc. 2017, 139, 18024, 33

33

hydroxylation du méthane par MMOH_Q

a possible mechanism



KIE observed for MMOH_Q decay : 50-100 for CH₄ vs CD₄.
 KIE observed for product formation : 19.3 for CH₄ vs CD₄; 3.9 for the intramolecular effect in CD₃H.

The reaction of CD₄ with ¹⁸O₂ results in 100 % CD₃¹⁸OH.
 ⇒ no exchange of oxygen or methyl hydrogen atoms with the solvent.

34

34

Kinetic Isotope Effect

KIE : mechanistic phenomenon where isotopically substituted molecules react at different rates
 ⇒ Interpretation of the rate differences provides information on the rate determining step (rds)

Primary isotope effect : labelled bond is made or broken in the rds

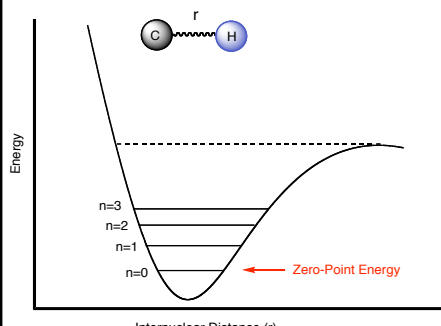
Secondary isotope effect : labelled bond is not made or broken in the rds

Normal isotope effect : $k_H/k_D > 1$

Inverse isotope effect : $k_H/k_D < 1$

vibrational energy levels of chemical bonds (harmonic oscillator) :

depends on the bond stretch frequency, thus on the reduced mass of the two connected atoms



$$\nu_{C-H} = \frac{1}{2\pi} \sqrt{\frac{k}{\mu_{C-H}}}$$

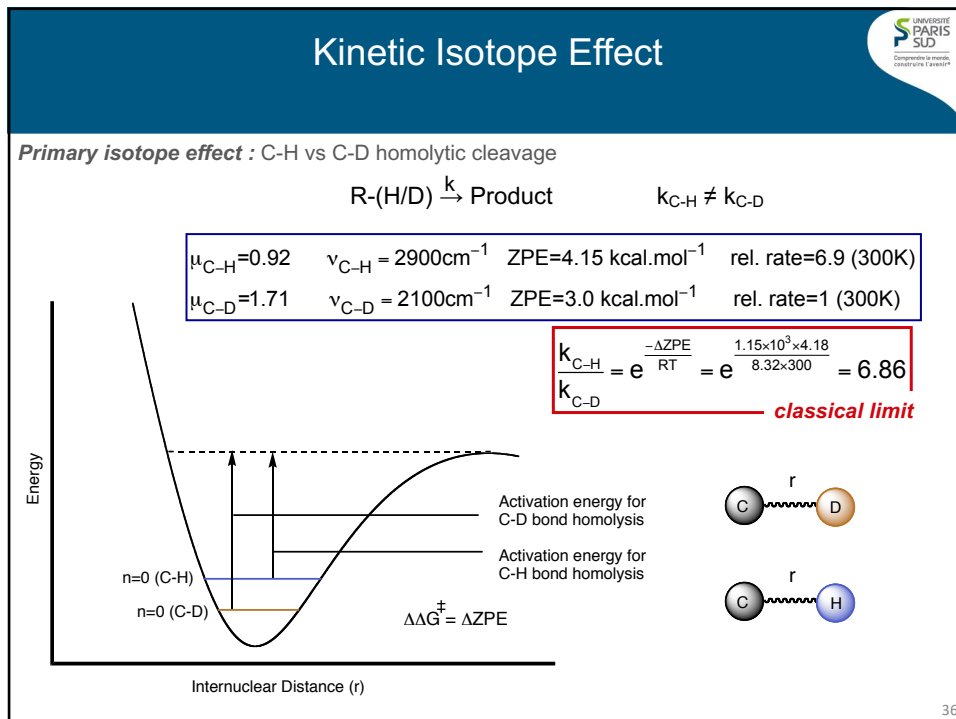
reduced mass :

$$\mu_{C-H} = \frac{m_C \times m_H}{m_C + m_H} = \frac{12}{13}$$

$$E_n = \hbar\nu(n + \frac{1}{2})$$

NB : 99.9 % of C-H bonds are in the ground vibrational state (n=0) at RT.
 ⇒ the ZPE forms the basis for the reactivity differences between isotopomers

35



36